

## 本論文の位置づけ

1. Canup & Ward, 2006, *Nature*  
- "Gas-starved" disk model, 時代:集積期
2. Barr & Canup, 2008, *Icarus*  
- "Gas-starved" model に則った衛星集積モデル  
• 対象:カリスト、リア、ガニメデ, 時代:集積期
3. Barr & Canup, 2010, *Nat. Geoscic.*  
- LHB impact model  
• 対象:カリスト、ガニメデ, 時代:LHB
4. Barr et al., 2010, *Icarus*  
- 2と3のモデルをタイタンに応用  
• 時代:集積 ~ LHB



## 要旨

- 氷と岩石が混合した内部状態を持つ氷衛星
  - 形成時から現在まで未分化な状態を保存
    - 集積加熱 + 放射性物質壊変熱 < 衛星が分化する温度
  - 氷衛星の**形成時期**に制約を与えることが可能!
    - » パラメータ:集積時間  $\tau_{\text{acc}}$ , 円盤温度  $T_d$
    - » 小さいインパクターを仮定(表面付近のみ集積加熱)
    - » 短寿命放射性元素( $^{26}\text{Al}$ )のみ考慮
  - カリスト(最も外側のガリレオ衛星、部分的に分化)
    - » 集積時間  $> 0.6 \text{ Myr}$ , CAI形成から 4 Myr 以降に集積完了
  - リア(土星の中型衛星、部分的に分化)
    - » CAI形成から 2 Myr 以降に集積完了
- 円盤の散逸時間 → 星周円盤の観測結果と調和的

## 未分化な氷衛星

- カリスト(半径: 2410 km, 最も外側のガリレオ衛星)
  - 未分化な内部
    - 古い地表面 & 重力場観測 (Anderson et al., 2001)
  - 分化している外側
    - ~ 300 km の氷地殼 (Anderson et al., 2001)
    - 内部海が存在 (Zimmer et al., 2000)
      - 地下 50 ~ 200 km に  
数十 ~ 数百 km の厚さで存在 (木村, 2008)
- リア(半径: 765 km, 土星系で2番目に大きい衛星)
  - 未分化な内部と分化した外側
    - 重力場より推定された氷地殼の厚さ  
 $46 \pm 24 \text{ km} \sim 158 \pm 23 \text{ km}$
    - (Anderson & Schubert, 2007) (Iess et al., 2007)



Callisto (PIA01478, NASA/JPL)

問題設定を簡単にするため  
本論文では内部海を無視



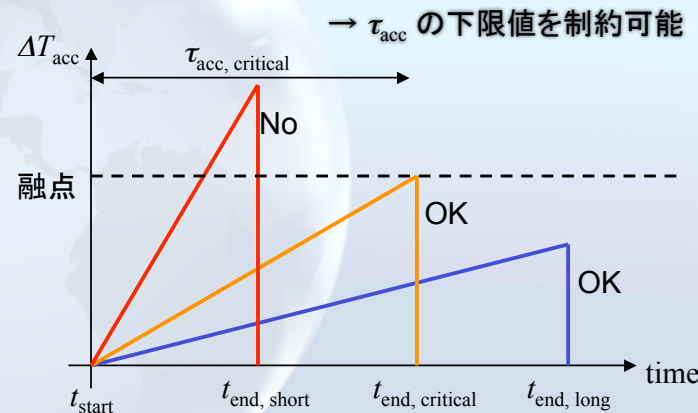
Rhea

(PIA12648, NASA/JPL/Space Science Institute)

## 未分化になるための条件

- 集積加熱 + 放射性物質壊変熱 < 氷の融点

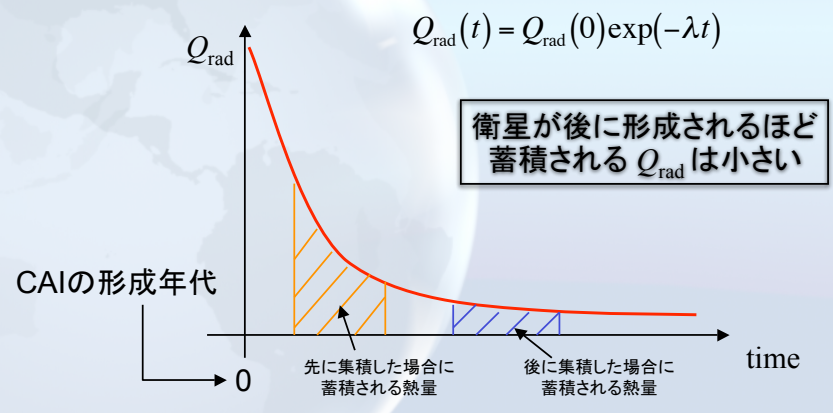
- 集積による昇温  $\Delta T_{acc}$  は集積時間  $\tau_{acc}$  に依存



## 未分化になるための条件

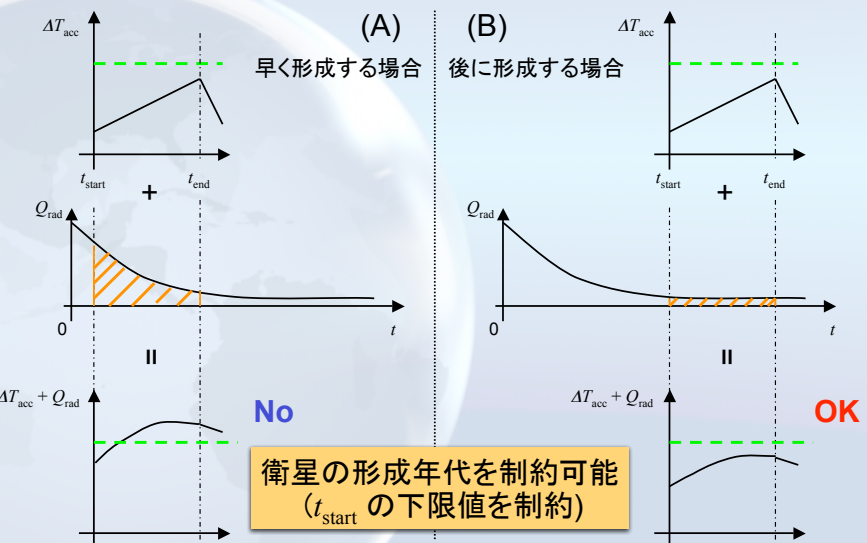
- 集積加熱 + 放射性物質壊変熱 < 氷の融点

- 壊変熱  $Q_{rad}$  は太陽系の初期ほど大きい



## 未分化になるための条件

- 集積加熱 + 放射性物質壊変熱 < 氷の融点



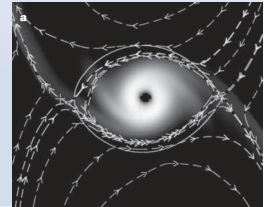
## これまでの研究

- 集積熱を全て保存したら... (重力結合エネルギー  $E_g$  vs 氷の潜熱  $L_w = 3 \times 10^5 \text{ J/kg}$ )
  - カリストは必ず分化する :  $E_{g, Callisto} = 2 \times 10^6 \text{ J/kg} > L_w$
  - リアは分化しないが、壊変熱を加味すると分化しうる  
 $E_{g, Rhea} \sim 10^5 \text{ J/kg}$
- $^{26}\text{Al}$  &  $^{60}\text{Fe}$ だけで加熱したら... (McKinnon, 2006)
  - カリストはCAI形成から 2.6 - 3 Myr以降に集積完了
- 最小質量円盤モデルに則った集積モデル (Squyres et al., 1988)
  - リアは  $\sim 10^3 \text{ yr}$  で集積しても分化しない
  - 問題点
    - Impactor自体の温度を無視
    - 放射壊変熱を考慮せず
    - 最小質量円盤モデルの妥当性 : 短い  $\tau_{acc}$  → カリストは必ず分化
- 集積熱と壊変熱を両方考慮した集積モデルはない

# 本論文の目的

- 集積モデルを用いて、氷衛星の熱史から  
**衛星の形成時期と集積時間**に制約を与える。
  - 新規な点
    - 境界条件に **Gas-starved disk model** を採用
    - 集積加熱と放射性物質壊変熱の両方**を考慮
- 注意すべき点
  - Impactorは小さいと仮定
    - 衝突による加熱は地表面付近のみ
  - 集積直後の時期までしか議論できない
    - 対流、伝導による熱輸送は無視
    - 短寿命放射性核種のみ考慮

## 衛星集積時の環境 ~ Subnebula model の変遷 ~

- (従来) **最小質量円盤モデル** (Lunine & Stevenson, 1982)
    - 高い円盤密度、高温、短い集積時間** ( $10^3 - 10^4$  yr)
      - 問題点: カリスト、タイタンは必ず分化 → 観測と矛盾
      - 衛星は現在と同じ位置で形成
      - 大きい Impactor**
        - 典型的サイズ、300 - 500 km (Mosqueira & Estrada, 2003)
  - (現在) **Gas-starved disk model** (Canup & Ward, 2006: 以降CWモデル)
    - Solar nebulaからのゆっくりとしたinflow
    - 低い円盤密度、低温、長い集積時間** ( $10^5 - 10^6$  yr)
      - 衛星は外側で集積 → 内側へ移動
      - 衛星系の質量分布を良く再現
      - 小さな Impactor**
        - 1 m for Rhea
        - $\sim O(1)$  km or less for Callisto
- 

## 集積加熱の見積もり

$$\bar{\rho}C_p(T - T_d) \frac{dr}{dt} = \frac{1}{2} \frac{\dot{M}u_i^2}{4\pi r^2} - \sigma_{SB}(T^4 - T_d^4)$$

### 地表面での昇温 = 衝突加熱 - 放射冷却

[衛星のパラメータ]

$\bar{\rho}$  : 平均密度

$C_p$  : 比熱

$T = T(t)$  : 地表面温度

$r = r(t)$  : 半径

$\dot{M} = \frac{M}{\tau_{acc}}$  : 集積率

$\tau_{acc}$  : 集積時間 (フリーパラメータ)

[円盤のパラメータ]

$\sigma_{SB}$  : Stefan-Boltzmann 定数

$u_i^2 = v_{esc}^2 + v_\infty^2$  : 衝突速度

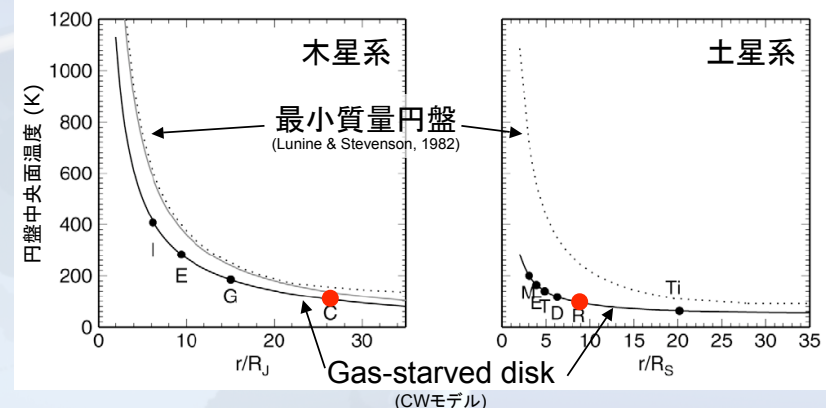
$v_{esc}^2 = \frac{2GM(t)}{r(t)}$  : 脱出速度

CWモデルで  
得られた値を使う

$v_\infty = \frac{v_{esc}}{2}$  : 無限遠方での相対初速度

$T_d$  : 円盤温度 (Impactor温度)

## 衛星集積時の環境 ~ 円盤温度 $T_d$ の見積もり ~



### パラメーター $T_d$ の取りうる範囲

- 上限: 最小質量モデル、下限: CWモデル + ガス惑星による gap 形成
  - カリスト : 70 K ~ 165 K (標準値 : 100 K)
  - リア : 70 K ~ 250 K (標準値 : 95 K)

## 集積加熱の見積もり～含まれる近似～

$$\bar{\rho}C_p(T - T_d) \frac{dr}{dt} = \frac{1}{2} \frac{\dot{M}u_i^2}{4\pi r^2} - \sigma_{SB}(T^4 - T_d^4)$$

- 周囲の円盤は光学的に厚い (Semenov et al., 2003)
  - 球対称近似
  - 一定の集積率：大きな衛星による重力擾動 ≫ 背景粒子による擾動
  - Impactor は小さい → 地表面付近のみ加熱される
  - 拡散と対流による熱輸送は無視
    - 拡散が効く空間スケール ~  $\sqrt{\left(\frac{\kappa}{2.6 \times 10^{-6} \text{ m}^2 \text{ s}^{-1}}\right) \left(\frac{\tau_{\text{acc}}}{10^7 \text{ yr}}\right)} \leq 30 \text{ km}$
    - 対流の開始時間 >  $3 \times 10^6 \text{ yr}$  for Rhea  
~  $10^8 \text{ yr}$  for Callisto
- (Zaranek & Parmentier, 2004)

## 放射性物質壊変熱の見積もり

$$\begin{aligned}\Delta T_r(r, t) &= \frac{1}{C_p} \int_{t_f(r)}^t m_r q_{26}(t) dt \\ &= \frac{m_r q_{26}(0)}{C_p \lambda_{26}} [\exp(-\lambda_{26} t_f(r)) - \exp(-\lambda_{26} t)]\end{aligned}$$

$q_{26}(t)$ : 単位質量当たりの発熱量  
 $m_r$ : 岩石の割合  
 $\lambda_{26}$ : 壊変定数  
 $t_f(r)$ : 半径  $r$  の層が形成された年代

- 半径  $r$  の地点での昇温: 時間  $t$  は CAI 形成時を 0 とする
- $^{26}\text{Al}$ のみを考慮: 短寿命核種の中では圧倒的に発熱量が多い  
-  $^{60}\text{Fe}$  の 100 倍以上
- 集積した後も融けないか? → 最大発熱量も考慮

$$\Delta T_{r,\text{final}}(r) = \frac{1}{C_p} \int_{t_f(R_s)}^{\infty} m_r q_{26}(t) dt = \frac{m_r q_{26}(0)}{C_p \lambda_{26}} \exp(-\lambda_{26} t_f)$$

## 放射性物質壊変熱の見積もり

$$\begin{aligned}\Delta T_r(r, t) &= \frac{1}{C_p} \int_{t_f(r)}^t m_r q_{26}(t) dt \\ &= \frac{m_r q_{26}(0)}{C_p \lambda_{26}} [\exp(-\lambda_{26} t_f(r)) - \exp(-\lambda_{26} t)]\end{aligned}$$

$q_{26}(t)$ : 単位質量当たりの発熱量  
 $m_r$ : 岩石の割合

- 半径  $r$  の地点での昇温:
- $^{26}\text{Al}$ のみを考慮: 短寿命核種  
-  $^{60}\text{Fe}$  の 100 倍以上
- 集積した後も融けないか? → 最大発熱量も考慮

$$\Delta T_{r,\text{final}}(r) = \frac{1}{C_p} \int_{t_f(R_s)}^{\infty} m_r q_{26}(t) dt = \frac{m_r q_{26}(0)}{C_p \lambda_{26}} \exp(-\lambda_{26} t_f)$$

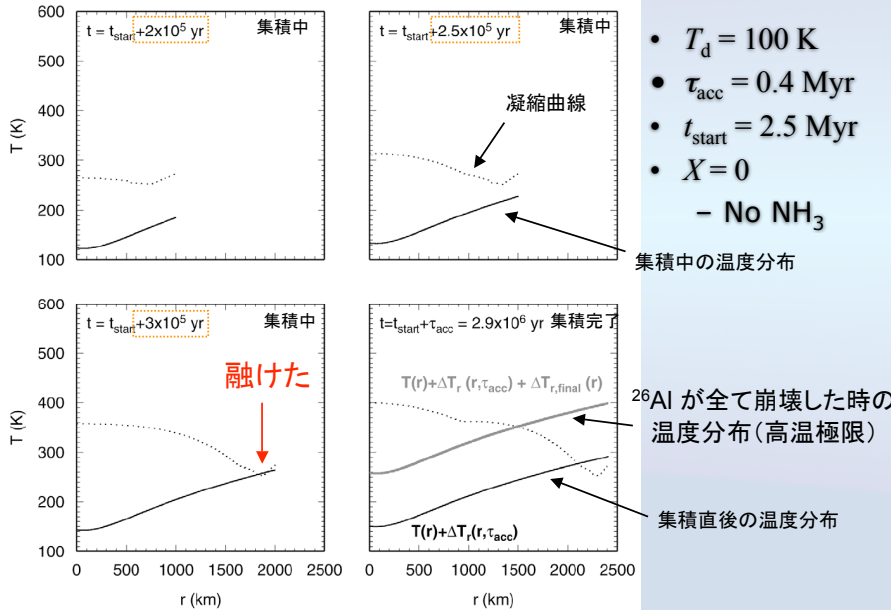
## 水の融点

- $\text{H}_2\text{O} \cdot \text{NH}_3$  の凝縮曲線 (Leliwa-Kopystynski et al., 2002)  
 $T_m(P, X) \approx T_o + AP + BP^2 - CX - DX^2$   
 $X$  ( $0 \leq X \leq 1$ ):  $\text{NH}_3$  の含有率
- 衛星内部の圧力 (均質な密度を仮定)  
 $P(r, t) = \frac{2\pi}{3} G \bar{\rho}^2 (r_{\max}^2(t) - r^2)$

Ice phase	Pressure range	$T_o$ (K)	$A$ (KPa $^{-1}$ )	$B$ (KPa $^{-2}$ )
Ice I	$P \leq 209 \text{ MPa}$	273.2	$-7.95 \times 10^{-8}$	$-9.6 \times 10^{-17}$
Ice III	$209 \text{ MPa} < P < 344 \text{ MPa}$	247.7	$2.38 \times 10^{-8}$	0
Ice V	$344 \text{ MPa} < P < 626 \text{ MPa}$	242.5	$4.9 \times 10^{-8}$	0
Ice VI	$626 \text{ MPa} < P < 2150 \text{ MPa}$	190.3	$1.54 \times 10^{-7}$	$-3.43 \times 10^{-17}$
Ice VII	$P > 2240 \text{ MPa}$	149.9	$9.14 \times 10^{-8}$	0

(Hobbs, 1974)

## 結果: 集積中のカリストの温度分布の一例



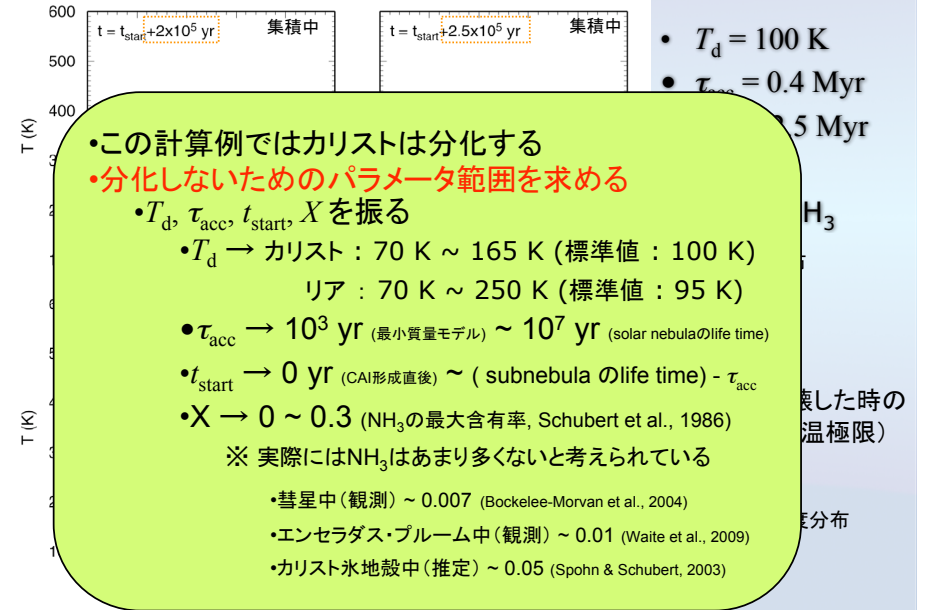
- $T_d = 100 \text{ K}$
- $\tau_{\text{acc}} = 0.4 \text{ Myr}$
- $t_{\text{start}} = 2.5 \text{ Myr}$
- $X = 0$

集積中の温度分布

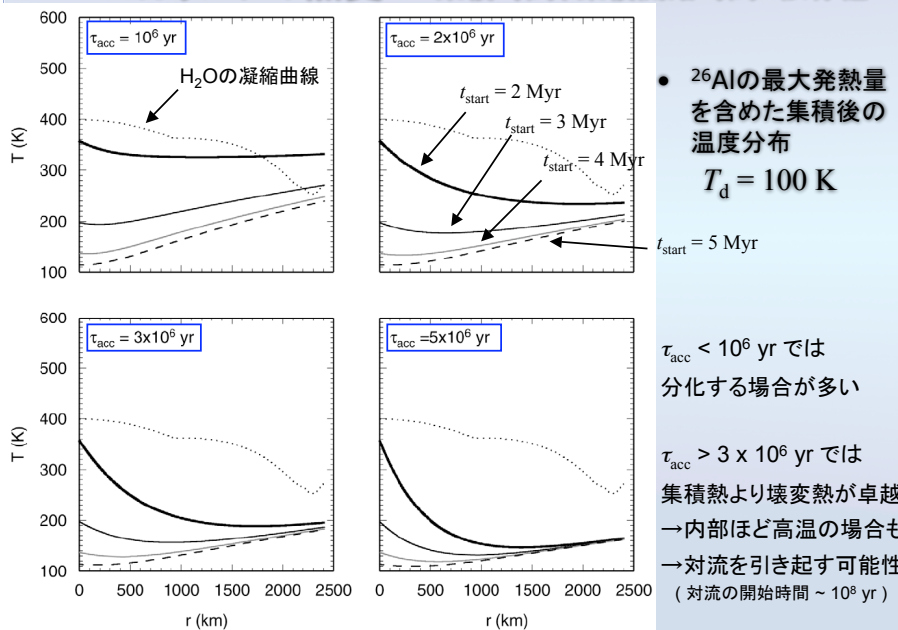
26Al が全て崩壊した時の  
温度分布 (高温極限)

集積直後の温度分布

## 結果: 集積中のカリストの温度分布の一例



## カリストの熱史 ~ 集積時間、集積開始時間 依存性 ~

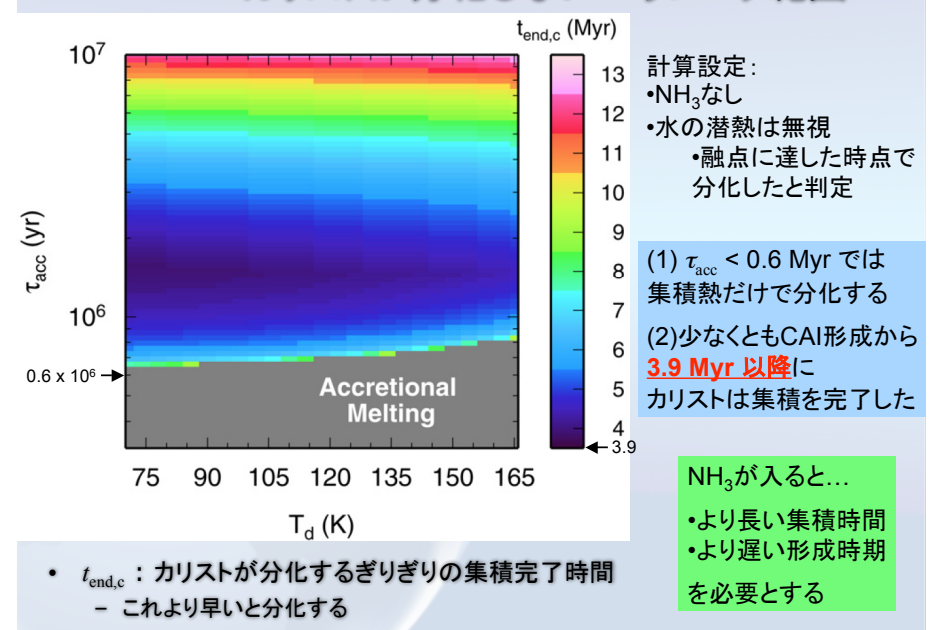


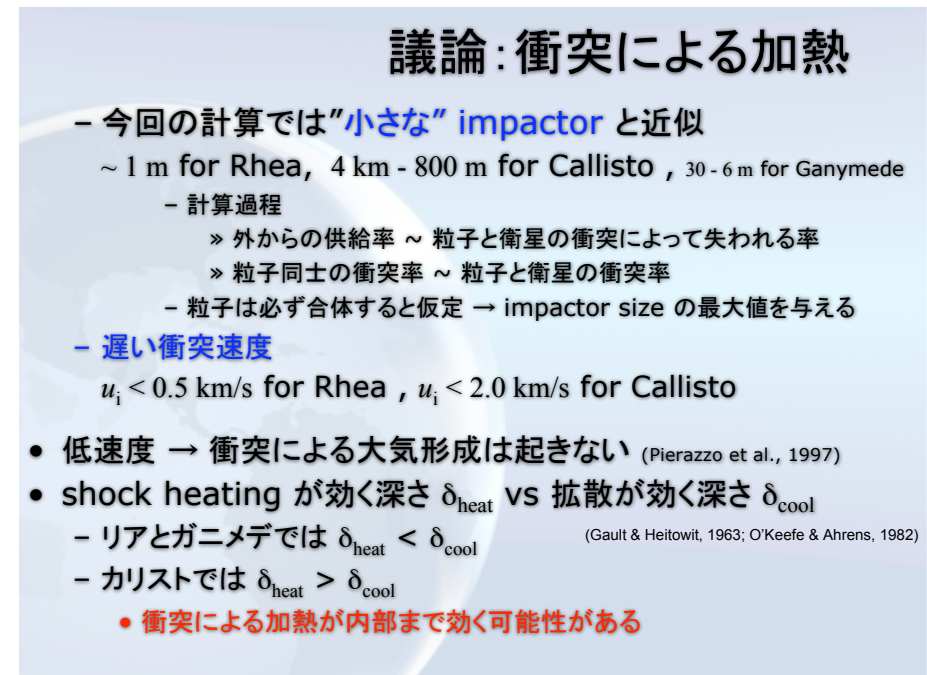
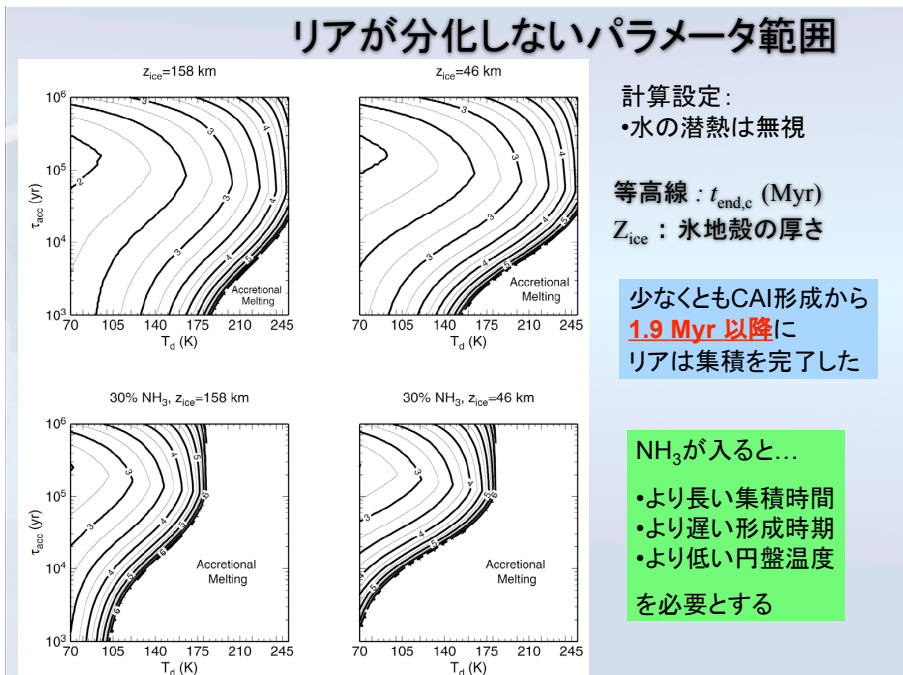
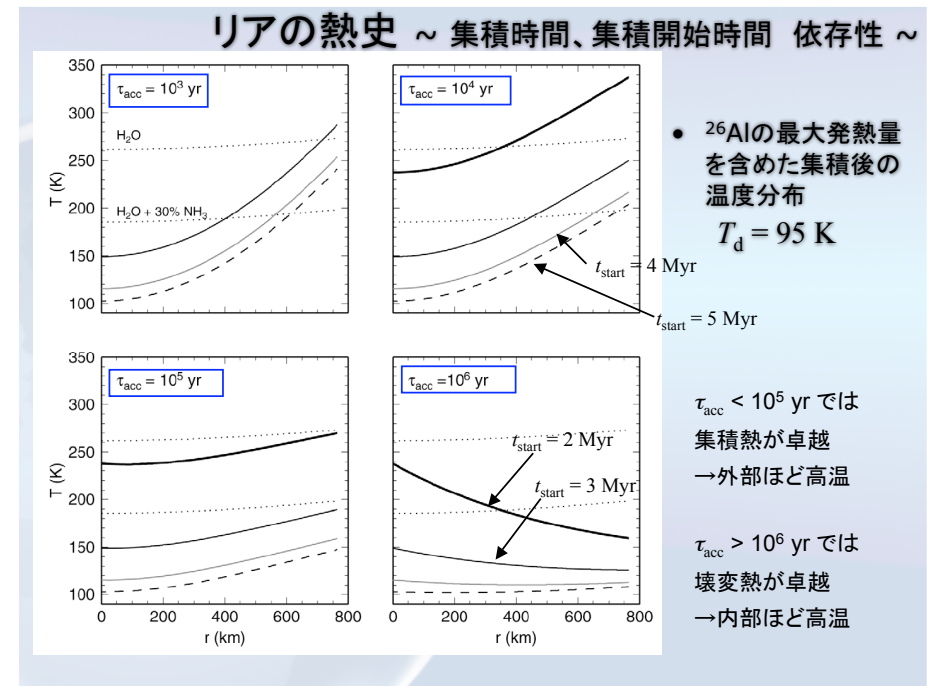
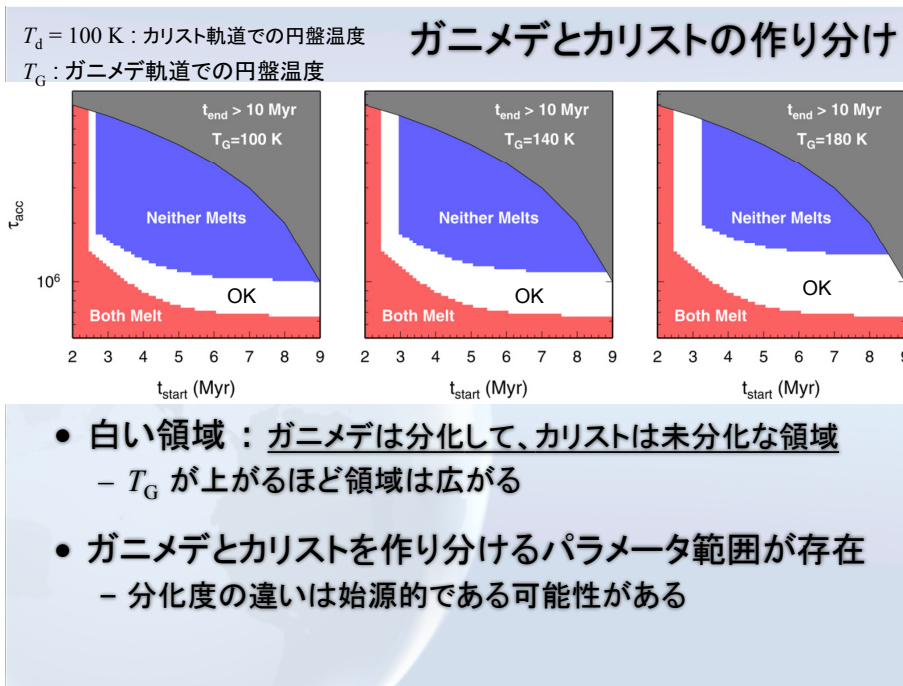
- 26Alの最大発熱量を含めた集積後の温度分布
- $T_d = 100 \text{ K}$

$\tau_{\text{acc}} < 10^6 \text{ yr}$  では  
分化する場合が多い

$\tau_{\text{acc}} > 3 \times 10^6 \text{ yr}$  では  
集積熱より壊変熱が卓越  
→ 内部ほど高温の場合も  
→ 対流を引き起す可能性  
(対流の開始時間 ~  $10^8 \text{ yr}$ )

## カリストが分化しないパラメータ範囲





## まとめ

- CW model に則った衛星集積モデル
  - 集積加熱と短寿命放射性元素の壊変熱を考慮
  - 小さな impactor 近似
    - カリストの集積時間は 0.6 Myr 以上である
    - カリストは CAI 形成から ~ 4 Myr 以降に集積を完了した
      - 平均的な星周円盤の life time ~ 3 Myr
      - Solar nebula の消失は CAI 形成から 4 Myr 以降であった可能性を示唆
  - 集積後のカリストの熱史については不明な点が残る
    - 長寿命放射性元素 → 対流が起こるはず
      - » 対流によって熱を逃がせなければ、カリストは分化してしまう
      - » 圧密の効果 → 対流を抑制
    - Solid-state convection ?